

ОПТИМАЛЬНОЕ  
УПРАВЛЕНИЕ

УДК 519.63

ЧИСЛЕННЫЙ АЛГОРИТМ ОПРЕДЕЛЕНИЯ ИСТОЧНИКА  
ДИФФУЗИОННО-ЛОГИСТИЧЕСКОЙ МОДЕЛИ ПО ДАННЫМ  
ИНТЕГРАЛЬНОГО ТИПА, ОСНОВАННЫЙ  
НА ТЕНЗОРНОЙ ОПТИМИЗАЦИИ<sup>1)</sup>

© 2023 г. Т. А. Звонарева<sup>1,2</sup>, С. И. Кабанихин<sup>2,3</sup>, О. И. Криворотко<sup>1,2,3,\*</sup>

<sup>1</sup> 630090 Новосибирск, пр-кт Акад. Лаврентьева, 6, ИВМиМГ СО РАН, Россия

<sup>2</sup> 630090 Новосибирск, ул. Пирогова, 2, НГУ, Россия

<sup>3</sup> 630090 Новосибирск, пр-кт Акад. Коптюга, 4, ИМ им. С.Л. Соболева СО РАН, Россия

\*e-mail: krivorotko.olya@mail.ru

Поступила в редакцию 09.12.2022 г.  
Переработанный вариант 09.12.2022 г.  
Принята к публикации 29.05.2023 г.

Разработан алгоритм численного решения задачи определения источника в модели распространения информации в синтетических онлайн социальных сетях, описываемой уравнениями типа “реакции–диффузии”, по дополнительной информации о процессе в фиксированные моменты времени. Исследована степень некорректности задачи определения источника в параболическом уравнении, основанная на анализе сингулярных чисел линеаризованного оператора обратной задачи. Разработанный алгоритм основан на комбинации метода тензорной оптимизации и градиентного спуска с учетом регуляризации А.Н. Тихонова. Численные расчеты демонстрируют наименьшую относительную погрешность восстановленного источника, полученную разработанным алгоритмом в сравнении с классическими подходами. Библ. 26. Фиг. 4. Табл. 2.

**Ключевые слова:** задача об источнике, модель “реакции–диффузии”, обратная задача, тензорная оптимизация, регуляризация, градиентные методы.

**DOI:** 10.31857/S0044466923090193, **EDN:** DFESUX

ВВЕДЕНИЕ

Оценка последствий принимаемых решений в социальных и экономических сферах опирается на создание и исследование моделей управляемых систем. В этом направлении существенную помощь могут оказать аналогии с процессами из различных предметных областей (математическая физика, механика сплошной среды, геофизика и др.) с хорошо развитым математическим аппаратом (см. [1]).

В настоящей работе рассматривается начально-краевая задача для диффузионно-логистической модели

$$\begin{aligned} u_t &= du_{xx} + \left(1 - \frac{u}{K}\right)r(t)u, \quad l_1 \leq x \leq l_2, \quad t \geq 1, \\ u(x, 1) &= Q(x), \quad l_1 \leq x \leq l_2, \\ u_x(l_1, t) &= u_x(l_2, t) = 0, \quad t \geq 1, \end{aligned} \tag{1}$$

которая описывает процесс распространения информации в онлайн социальной сети (см. [2]). Здесь  $u(x, t)$  – плотность пользователей, вовлеченных в процесс распространения информации,  $K$  – константа, описывающая максимальную пропускную способность сети,  $r(t)$  [1/час] – скорость роста числа активных пользователей,  $Q(x)$  – гладкая функция источника распространения

<sup>1)</sup>Работа выполнена при финансовой поддержке РНФ (проект № 18-71-10044-П) и Математического Центра в Академгородке, соглашение с Минобрнауки РФ 075-15-2022-281.

информации в социальной сети в зависимости от количества связей  $x = 1, 2, \dots$ , интерполированная с помощью сплайнов по дискретному набору связей, удовлетворяющая ограничениям

$$0 \leq Q(x) \leq Q_{\max}, \quad Q(x) = 0 \quad \forall x < l_1 \quad \text{и} \quad Q(x) = Q_{\max} \quad \forall x > l_2 \geq l_1.$$

Переменная  $x$  характеризует расстояние от источника, т.е.  $x = 0$  соответствует источнику,  $x = l_1$  – минимальное количество связей от источника до вовлеченного пользователя. Например, вовлеченный пользователь отреагировал на новость “друга”, который в свою очередь отреагировал (репост, реакция) на новость своего “друга”-источника. В таком случае вовлеченный пользователь находится на расстоянии  $x = 2$  от источника.

Подобное уравнение “реакции–диффузии” было рассмотрено в статье А.Н. Колмогорова, И.Г. Петровского и Н.С. Пискунова [3], в которой  $u(x, t)$  означала концентрацию исследуемого вида в популяции при  $Q_{\max} = 1$ ,  $K = 1$ . В этом случае предельная скорость перемещения популяции равна  $v(t) = 2\sqrt{dr(t)}$ .

Если ввести функцию потока  $\Psi(x, t)$ , характеризующую количество вовлеченных пользователей, проходящую через точку с координатой  $x$  в единицу времени в момент  $t$ , то закон сохранения для модели (1) примет вид

$$\frac{\partial u(x, t)}{\partial t} + \frac{\partial \Psi(x, t)}{\partial x} = \left(1 - \frac{u}{K}\right)r(t)u.$$

В случае, когда функции потока  $\Psi(x, t)$  и плотности  $u(x, t)$  связаны соотношением Фика

$$\Psi(x, t) = -v(u) \frac{\partial u}{\partial x},$$

уравнение из модели (1) примет вид

$$\frac{\partial u}{\partial t} = \left(1 - \frac{u}{K}\right)r(t)u + \frac{\partial}{\partial x} \left( v(u) \frac{\partial u}{\partial x} \right).$$

Здесь  $v(u)$  – неотрицательная функция скорости потока.

**Замечание.** Начально-краевая задача об определении источника  $\varphi(x)$  может быть записана в виде

$$\begin{aligned} \frac{\partial \tilde{u}}{\partial t} &= \left(1 - \frac{\tilde{u}}{K}\right)r(t)\tilde{u} + d \frac{\partial^2 \tilde{u}}{\partial x^2} + \varphi(x)k(x, t), \quad t \in (1, T), x \in (l_1, l_2), \\ \tilde{u}(x, 1) &< 0, \quad x \in (l_1, l_2), \\ \tilde{u}_x(l_1, t) &= \tilde{u}_x(l_2, t) = 0, \quad t \in (1, T). \end{aligned} \quad (2)$$

В случае  $k(x, t) = \delta(x)\delta(t)$ , где  $\delta$  – дельта-функция Дирака, задача определения функции  $\varphi(x)$  из (2) сводится к задаче определения функции  $Q(x)$  из (1) (см. [4]).

Определение источника  $\varphi(x)$  крайне важно при моделировании динамики популяции, распространения информации в социальных сетях, приложениях математической физики, так как решение  $\tilde{u}(x, t)$  сильно зависит от линейной части члена, отвечающего за реакцию. В физических приложениях линейная часть часто неизвестна или известна частично, и  $\varphi(x)$  нельзя измерить напрямую, поскольку он является результатом смешанного влияния нескольких факторов. Таким образом, в большинстве случаев  $\tilde{u}(x, t)$  не доступны одновременно для всех  $x$  и всех моментов времени  $t$ . В работе разработан эффективный алгоритм определения функции источника  $Q(x)$  в начально-краевой задаче (1) по дополнительной информации о процессе в фиксированные моменты времени.

В Институте системного программирования РАН разрабатываются подходы анализа социальных процессов, основанные на онтологии, графовых структурах, методах машинного обучения и искусственного интеллекта (см. [5]). В настоящей работе предложен упрощенный подход описания процесса распространения информации в онлайн социальных сетях, основанный на описании процессов посредством дифференциальных уравнений.

Статья организована следующим образом. В разд. 1 сформулирована обратная задача (задача об источнике) для модели (1) в классической и вариационной постановках и исследован линейризованный оператор обратной задачи на степень некорректности. В разд. 2 сформулирован комбинированный алгоритм численного решения задачи об источнике, основанный на методах

тензорной оптимизации и градиентного типа. В разд. 3 приведены результаты и анализ численных расчетов определения функции источника распространения информации в онлайн социальных сетях по синтетическим данным о количестве вовлеченных пользователей в фиксированные моменты времени. В заключении сформулированы выводы по статье и направления дальнейших исследований.

### 1. ПОСТАНОВКА ОБРАТНОЙ ЗАДАЧИ

В обратной задаче, в отличие от прямой, помимо функции  $u(x, t)$  неизвестной является и начальная функция плотности  $Q(x)$ . Рассматривается дополнительная информация следующего вида:

$$\sum_{i=1}^{N_1} u(x_i, t_k) = f_k, \quad k = 1, \dots, N_2. \tag{3}$$

Таким образом, в обратной задаче (1), (3) требуется восстановить функцию  $Q(x)$  модели (1) по данным  $f_k$  вида (3). Так как данные обратной задачи не полны, такая обратная задача некорректна (см. [6]) (ее решение может быть неединственным и/или неустойчивым).

Благодаря неравенствам Карлемана, метод, введенный Бухгеймом и Клибановым (см. [7]), позволил установить важные результаты, включающие неравенства устойчивости, связывающие восстанавливаемую функцию источника с наблюдениями на части области  $\omega \times (1, T)$ ,  $\omega \subset (l_1, l_2)$ , и наблюдения на всей области  $(l_1, l_2)$  в фиксированный момент времени  $t^*$  (см. [8, 9]). В [10] был предложен подход определения функции источника по дополнительной информации о решении в фиксированный момент времени и точки пространства в одномерном случае, получены результаты единственности и устойчивости решения. В [11] В. Исаков получил теорему условной устойчивости решения задачи об источнике для модели (2) с необходимостью дополнительных граничных наблюдений. В [12] А. Хасанов использовал подход слабого решения для минимизации функционала невязки. Больше теоретических и практических результатов приведены в современных работах и ссылках в них (см. [13, 14]).

Для описания быстротекущих процессов (движения плазмы, модели теплопроводности, распространение информации в социальных сетях) в [15, 16] предложен подход регуляризации параболической системы (2) путем добавления второй производной по времени с малым параметром  $\varepsilon$  в качестве коэффициента. В нашем случае

$$\begin{aligned} \varepsilon u_{tt} + u_t &= du_{xx} + \left(1 - \frac{u}{K}\right)r(t)u, \quad l_1 \leq x \leq l_2, \quad t \geq 1, \\ u(x, 1) &= Q(x), \quad u_t(x, 1) = 0, \quad l_1 \leq x \leq l_2, \\ u_x(l_1, t) &= u_x(l_2, t) = 0, \quad t \geq 1. \end{aligned} \tag{4}$$

Гиперболическая модель имеет заметные преимущества при использовании явных схем численного решения прямых и сопряженных задач. Особенно ярко эти преимущества по сравнению с параболической моделью (2) проявляются при использовании подробных пространственных сеток, применение которых стало возможным с появлением вычислительных систем сверхвысокой производительности. В то же время добавленный член имеет сингулярный характер. Вопрос о близости решений сингулярно возмущенных и невозмущенных уравнений впервые исследован в работах А.Н. Тихонова [17, 18]. В [16] показано, что оптимальным представляется выбор параметра  $\varepsilon$  в виде:

$$\varepsilon < \frac{h_x}{V},$$

где  $h_x$  – шаг по пространственной сетке,  $V$  – характерная скорость диффузионного процесса. При этом, с одной стороны, обеспечивается близость решений параболической и гиперболической моделей (см. [15]), а с другой – обеспечивается заметный вычислительный эффект при использовании явных схем.

### 1.1. Исследование сингулярных чисел оператора линеаризованной обратной задачи

Используя дискретизацию начально-краевой задачи (1), обратную задачу определения  $q = (q_0, \dots, q_5) = (Q(1), \dots, Q(6))$  по дополнительной информации вида (3) можно представить в виде системы линейных алгебраических уравнений

$$Aq = f,$$

где  $A$  – матрица размера  $N_2 \times N$ , а  $q$  и  $f = (f_1, \dots, f_{N_2})$  – векторы размерности  $N$  и  $N_2$  соответственно. Обратную задачу (4), (3) аналогично можно представить в виде  $A_\epsilon q = f$ .

Зависимость решения от возмущения правой части  $f$  в случае невырожденной матрицы  $A$  для возмущенной задачи

$$A(q + \delta q) = f + \delta f$$

имеет вид  $A\delta q = \delta f$ , откуда  $\delta q = A^{-1}\delta f$ ,  $\|\delta q\| \leq \|A^{-1}\|\|\delta f\|$ . Кроме того,  $\|A\| \|q\| \geq \|f\|$ .

Из этих соотношений мы имеем неуклучшаемую оценку для относительной ошибки решения:

$$\frac{\|\delta q\|}{\|q\|} \leq \|A\| \|A^{-1}\| \frac{\|\delta f\|}{\|f\|}. \quad (5)$$

Таким образом, погрешность определяется константой  $\text{cond}(A) = \|A\| \|A^{-1}\|$ , которая называется *числом обусловленности* системы (матрицы). Системы с плохо обусловленными матрицами можно считать практически неустойчивыми, хотя формально задача корректна, и выполнено условие устойчивости  $\|A^{-1}\| < \infty$ .

В случае возмущения матрицы оценка (5) принимает вид

$$\frac{\|\delta q\|}{\|q\|} \leq \text{cond}(A) \frac{\|\delta A\|}{\|A\|} / \left( 1 - \text{cond}(A) \frac{\|\delta A\|}{\|A\|} \right)$$

(при  $\|A^{-1}\| \|\delta A\| < 1$ ).

Известно, что число обусловленности выражается через сингулярные числа матрицы следующим образом:

$$\text{cond}(A) = \frac{\sigma_1(A)}{\sigma_p(A)},$$

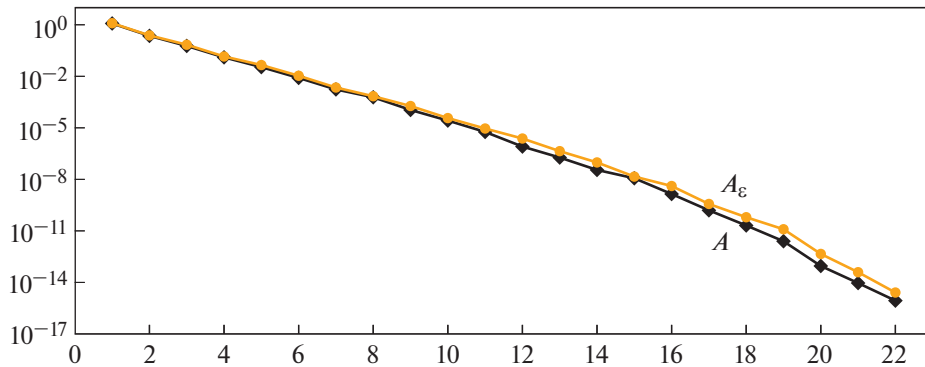
где  $\sigma_1(A)$  и  $\sigma_p(A)$  – максимальное и минимальное сингулярные числа матрицы  $A$ ,  $p = \min(N, N_2)$ .

После линеаризации и дискретизации обратных задач (1), (3) (см. [19]) и (4), (3) при  $N_1 = 5$ ,  $N_2 = 22$  получим дискретные аналоги операторов обратных задач. В численных расчетах  $K = 25$ ,  $d = 0.01$ , и функция  $r(t)$  имеет вид:

$$r(t) = \frac{\beta_2}{\beta_1} - e^{-\beta_1(t-1)} \left( \frac{\beta_2}{\beta_1} - \beta_3 \right), \quad \text{где } \beta_1 = 1.5, \quad \beta_2 = 0.375, \quad \beta_3 = 1.65.$$

Сингулярные числа матриц  $A$  и  $A_\epsilon$  представлены на фиг. 1.

Таким образом, числа обусловленности матриц  $A$  и  $A_\epsilon$  имеют порядок  $10^{16}$  и  $10^{15}$  соответственно. Это означает, что решение линеаризованной обратной задачи неустойчиво. Добавление малого параметра  $\epsilon$  со второй производной по времени не значительно уменьшает число обусловленности матрицы  $A_\epsilon$ . В следующем разделе обратная задача сведена к задаче минимизации функционала с учетом регуляризирующего слагаемого.



**Фиг. 1.** Графики убывания сингулярных чисел операторов  $A$  (черная линия с ромбами) и  $A_\epsilon$  при  $\epsilon = 0.1$  (оранжевая линия с кружками) линеаризованных обратных задач (1), (3) и (4), (3) в логарифмической шкале.

### 1.2. Вариационная постановка обратной задачи

Пусть  $u(x, t) \in L^2((l_1, l_2) \times (1, +\infty))$ . Тогда обратную задачу можно свести к соответствующей задаче минимизации следующего целевого функционала:

$$J(q) = \frac{T-1}{N_2} \sum_{k=1}^{N_2} \left| \sum_{i=1}^{N_1} u(x_i, t_k; q) - f_k \right|^2, \tag{6}$$

где  $u(x, t; q)$  – решение прямой задачи для начальной функции плотности  $Q(x)$ , определяемой из набора параметров  $q = (q_0, \dots, q_{N-1})$ , т.е.  $Q(x_i) = q_{i-1}$ ,  $i = 1, \dots, N$ ,  $N = 6$  – число параметров.

Для данной обратной задачи также был сформулирован регуляризирующий функционал А.Н. Тихонова (см. [17, 20])

$$J_T(q) = \frac{T-1}{N_2} \sum_{k=1}^{N_2} \left| \sum_{i=1}^{N_1} u(x_i, t_k; q) - f_k \right|^2 + \alpha \sum_{j=0}^{N-1} |q_j - q_j^0|^2 \tag{7}$$

с параметром регуляризации  $\alpha = 10^{-2}$  и линейно убывающим  $q^0$ .

## 2. МЕТОДЫ ОПТИМИЗАЦИИ

Задача определения вектора  $q \in R^6$  является некорректной, а именно, как показано в п. 1.1, решение неустойчиво (число обусловленности достигает порядка  $10^{16}$ ). Более того, функция  $Q(x)$  определяется на всем интервале  $x \in [l_1, l_2]$  с помощью интерполяции вектора  $q$  кубическими сплайнами, что порождает неединственность решения.

Дополнительная информация (3) обратной задачи задана в дискретном виде.

В [19] были проведены расчеты для более полных данных  $u(x_i, t_k) = f_{ik}$ ,  $i = 1, \dots, N_1$ ,  $k = 1, \dots, N_2$ , с применением комбинации методов глобальной оптимизации (метод роя частиц) и градиентных подходов. Для решения поставленной обратной задачи был применен метод оптимизации тензорного поезда, который сводит функцию нескольких переменных к тензору (см. [21]) и является в сравнении с природоподобными алгоритмами эффективнее без потери точности для многомасштабных задач.

### 2.1. Метод тензорного разложения функционала

Метод глобальной оптимизации тензорного поезда (Tensor Train global optimization, ТТ) (см. [21]) заменяет исходную задачу оптимизации на эквивалентную задачу поиска максимума по модулю. Для этого исходная функция непрерывно и монотонно отображается на часть интервала  $[0; +\infty)$  и после дискретизации преобразуется в тензор.

Однако число элементов в таком тензоре растет экспоненциально с ростом числа искомых параметров. Поэтому идеей метода является аппроксимация тензора методом TT-CROSS (см. [22]), который получает приближение тензора в TT-формате. Этот формат представляет собой разложение, в котором исходный тензор размерности  $N$  сводится к  $N$  тензорам размерности 3.

Для вычислительных экспериментов был адаптирован пакет программ ttru на языке программирования Python. В данном случае исходный функционал  $J(q)$  отображается с помощью функции  $g(J(q) - \alpha)$  и вводится сетка с  $n$  узлами по каждому из  $N$  направлений, а тензор значений функции  $g(q)$  обозначается через  $G$ . Тогда алгоритм метода имеет следующий вид:

0. Для каждого  $i = 1, \dots, N - 1$ :

- Случайным образом генерируется тензор  $\hat{G}_i(j_1; j_2; j_3)$  и считается  $QR$ -разложение матрицы развертки  $\hat{G}_i(j_1 j_2; j_3) = Q_i R_i$ .

- Процедура  $\text{maxvol}(Q_i)$  находит набор номеров строк  $\{p\}$ , соответствующий квадратной подматрице максимального объема (см. [23]).

- Используя значения сетки и полученный на предыдущем шаге  $\hat{q}_{i-1}$ , генерируется массив  $\hat{q}_i$ , из которого выбираются строки с номерами из  $\{p\}$ .

1. Пока число итераций меньше  $n_{\text{swp}}$  (параметр функции `min_func` в пакете ttru), чередуются следующие действия:

(а) Для  $i = N - 1, \dots, 1$ :

- На основе  $\hat{q}_i$  и  $\hat{q}_{i+1}$  генерируется множество потенциальных решений  $M$  и обновляется сдвиг  $\alpha$ .

- Массив значений функционала  $J(\tilde{q})$ ,  $\tilde{q} \in M$ , представляется в виде тензора  $A_i(j_1; j_2; j_3)$  и считается сингулярное разложение матрицы развертки  $A_i(j_2 j_3; j_1) = U_i S_i (V_i)^*$ .

- Процедура  $\text{gest\_maxvol}(U_i)$  находит набор номеров строк  $\{p\}$ , соответствующий прямоугольной подматрице максимального объема (см. [24]).

- Используя значения сетки и  $\hat{q}_{i+1}$ , генерируется массив  $\hat{q}_i$ , из которого выбираются строки с номерами из  $\{p\}$ .

(б) Для  $i = 0, \dots, N - 2$ :

- На основе  $\hat{q}_i$  и  $\hat{q}_{i+1}$  генерируется множество потенциальных решений  $M$  и обновляется сдвиг  $\alpha$ .

- Массив значений функционала  $J(\tilde{q})$ ,  $\tilde{q} \in M$ , представляется в виде тензора  $A_i(j_1; j_2; j_3)$  и считается  $QR$ -разложение матрицы развертки  $A_i(j_1 j_2; j_3) = Q_i R_i$ .

- Процедура  $\text{gest\_maxvol}(Q_i)$  находит набор номеров строк  $\{p\}$ , соответствующий прямоугольной подматрице максимального объема.

- Используя значения сетки и  $\hat{q}_i$ , генерируется массив  $\hat{q}_{i+1}$ , из которого выбираются строки с номерами из  $\{p\}$ .

На нечетных итерациях выполняется вариант (а), на четных итерациях – (б).

Данный метод использует только некоторые строки и столбцы изначального тензора значений функции  $g(q)$ , из-за чего может не найти точку глобального оптимума, а лишь обнаружить близкое к оптимальному значение. Поэтому для увеличения точности решения обратной задачи мы рассмотрели комбинированный метод.

## 2.2. Комбинированный метод

Данный метод состоит в последовательном применении метода глобальной оптимизации TT и локального многоуровневого градиентного метода (МГМ) (см. [25]). Ранее уже были проведены численные эксперименты для подобной обратной задачи, решаемой с помощью МГМ (см. [26]). Алгоритм МГМ имеет следующий вид:

$$q^{m+1} = \theta_{m+1} z^m + (1 - \theta_{m+1}) y^m, \quad \theta_{m+1} \in \arg \min_{\theta \in [0;1]} J(\theta z^m + (1 - \theta) y^m),$$

$$y^{m+1} = q^{m+1} - \zeta_{m+1} J'(q^{m+1}), \quad \zeta_{m+1} \in \arg \min_{\zeta \geq 0} J(q^{m+1} - \zeta J'(q^{m+1})),$$

$$z^{m+1} = z^m - \eta_{m+1} J'(q^{m+1}), \quad \eta_{m+1} = \frac{1}{2L_{m+1}} + \sqrt{\frac{1}{4L_{m+1}^2} + \eta_m^2},$$

$$L_{m+1} = \frac{\|J'(q^{m+1})\|^2}{2(J(q^{m+1}) - J(y^{m+1}))}, \quad \eta_0 = 0.$$

В качестве начального приближения для МГМ был взят результат метода ТТ. Скорость сходимости по функционалу метода МГМ имеет порядок  $O(m^{-2})$ .

### 3. ЧИСЛЕННЫЕ ЭКСПЕРИМЕНТЫ

Решение задач минимизации (6) и (7) проводилось с помощью методов ТТ, ТТ в комбинации с МГМ (ТТ + МГМ). Сравнение результатов проведено с результатом комбинации методов роя частиц и МГМ для синтетических данных обратной задачи. Вычисления проводились на вычислительном узле с двумя процессорами Intel Xeon Gold 6248R, количество ядер в каждом процессоре – 24, частота – 3 Гц, 384 Гб оперативной памяти.

#### 3.1. Входные параметры

Прямая задача решается конечно-разностным методом на равномерной сетке в замкнутой области  $\bar{D} = \{(x, t) \mid l_1 \leq x \leq l_2, 1 \leq t \leq T\}$ :

$$\bar{\omega} = \{(x_j, t_n) \mid x_j = l_1 + jh, t_n = 1 + n\tau, j = 0, \dots, N_x, n = 0, \dots, N_t\},$$

где  $h = \frac{l_2 - l_1}{N_x}$  и  $\tau = \frac{T - 1}{N_t}$ .

Для применения классического непрерывного подхода функция начальной плотности  $Q(x)$  определяется из вектора  $q_{\text{ex}}$  (см. табл. 2) интерполяцией кубическими сплайнами (см. [26]).

Прямая задача (1) решается с помощью явной конечно-разностной схемы с порядком аппроксимации  $O(\tau + h^2)$ .

Положим в численных расчетах  $l_1 = 1, l_2 = 6, T = 24, N_x = 50$  и  $N_t = 575$  (см. [26]). И в случае функционала А.Н. Тихонова  $q_j^0 \in [0, 6]$  расположены равномерно, т.е.  $q^0 = (6, 4.8, 3.6, 2.4, 1.2, 0)$ .

В качестве синтетических данных  $f_k$  были взяты значения решения прямой задачи в каждой десятой точке по  $x$  и в каждой двадцать пятой точке по  $t \geq 50$ , т.е.  $N_1 = 6$  и  $N_2 = 22$ . Значения параметров  $q_{\text{ex}}$  в табл. 2 эмитируют реальные данные новостного сайта Digg.com, представленные в [2].

Относительная ошибка вычислялась по формуле

$$\delta_m = \frac{\|q_{\text{ex}} - q^m\|^2}{\|q_{\text{ex}}\|^2}.$$

Здесь  $q_{\text{ex}}$  – точные значения дискретизованной функции  $Q(x)$ , а  $q^m$  – аппроксимация решения обратной задачи, которая соответствует минимуму функционала  $J(q^m)$  (6).

**3.1.1. Параметры ТТ.** Исходный функционал отображался с помощью функции  $g(q) = \pi/2 - \text{arctg}(J(q) - \alpha)$ . Для всех  $N$  направлений выбирался интервал изменения параметров  $[0, 6]$ , а максимально возможный ранг тензоров в разложении  $r_{\text{max}} = 7$  и количество итераций во всех численных экспериментах  $n_{\text{swp}} = 10$ .

При увеличении количества узлов  $n$  по каждому из направлений растет вычислительная сложность (см. п. 3.3), поэтому в расчетах было выбрано оптимальное по времени и значению целевого функционала число узлов  $n = 51$ .

**3.1.2. Параметры МГМ.** На каждой итерации параметр спуска определяется на отрезке  $[0, \zeta_{\text{max}}]$  с шагом  $\zeta_n$ . А градиент вычислялся через решение сопряженной задачи (см. [26]).

**Таблица 1.** Результаты,  $t_{ЭВМ}$  – время работы программы

| Метод           | Функционал                     | $\delta$              | $t_{ЭВМ}, \text{ч}$ |
|-----------------|--------------------------------|-----------------------|---------------------|
| ТТ              | $J(q) = 6.16 \times 10^0$      | $2.04 \times 10^{-2}$ | 1.09                |
| ТТ + МГМ        | $J(q) = 7.43 \times 10^{-3}$   | $1.89 \times 10^{-2}$ | 1.1                 |
| ТТ + МГМ + рег. | $J_T(q) = 1.56 \times 10^{-1}$ | $1.29 \times 10^{-2}$ | 2.55                |
| МРЧ + МГМ       | $J(q) = 6.67 \times 10^{-2}$   | $1.03 \times 10^0$    | 0.64                |

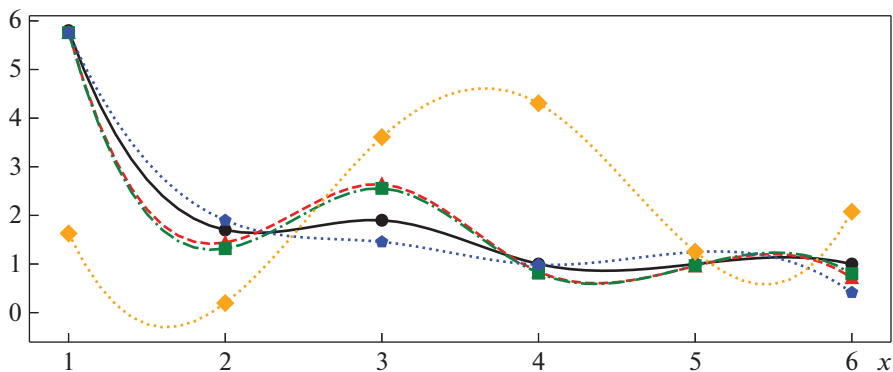
**Таблица 2.** Значения точного  $q_{ex}$  и найденных решений обратной задачи (1), (3)

| Параметр          | $q_0$ | $q_1$ | $q_2$ | $q_3$ | $q_4$ | $q_5$ |
|-------------------|-------|-------|-------|-------|-------|-------|
| $q_{ex}$          | 5.8   | 1.7   | 1.9   | 1     | 0.95  | 0.7   |
| $q_{ТТ}$          | 5.76  | 1.44  | 2.639 | 0.84  | 0.96  | 0.72  |
| $q_{ТТ+МГМ}$      | 5.758 | 1.316 | 2.556 | 0.813 | 0.965 | 0.801 |
| $q_{ТТ+МГМ+рег.}$ | 5.759 | 1.899 | 1.456 | 0.986 | 1.246 | 0.415 |
| $q_{МРЧ+МГМ}$     | 1.629 | 0.197 | 3.611 | 4.307 | 1.255 | 2.076 |

### 3.2. Результаты численных экспериментов

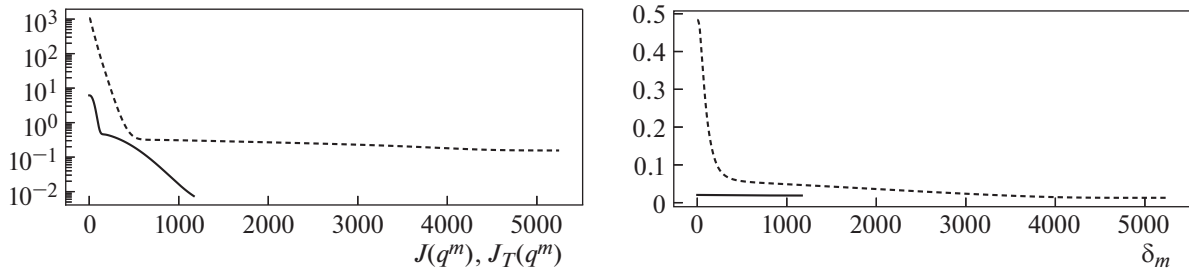
Было выявлено, что при значениях  $n \leq 50$  изменение параметров  $r_{\max}$  и  $n_{\text{swp}}$  никак не влияет на результат работы программы, лишь увеличивая время ее работы. А минимальные значения функционала  $J(q) = 6.16 \times 10^0$  и погрешности  $\delta = 2.04 \times 10^{-2}$  достигались при  $n = 51$ ,  $r_{\max} = 7$  и  $n_{\text{swp}} = 10$ . Однако решение обратной задачи еще далеко от точного, поэтому для уточнения применялся МГМ.

В табл. 1 и 2 и на фиг. 2 представлены результаты решения задачи минимизации целевого функционала методом ТТ, комбинацией ТТ + МГМ, ТТ + МГМ с регуляризацией А.Н. Тихонова и комбинацией стохастического глобального метода роя частиц (МРЧ) + МГМ. Можно заметить, что метод ТТ работает почти в 2 раза дольше комбинации МРЧ + МГМ, но находит решение лучше в смысле значений погрешности. Применение МГМ к методу ТТ приводит к уменьшению функционала, но незначительно влияет на погрешность, а применение регуляризации А.Н. Тихонова уменьшает погрешность, но увеличивает время работы программы более чем в

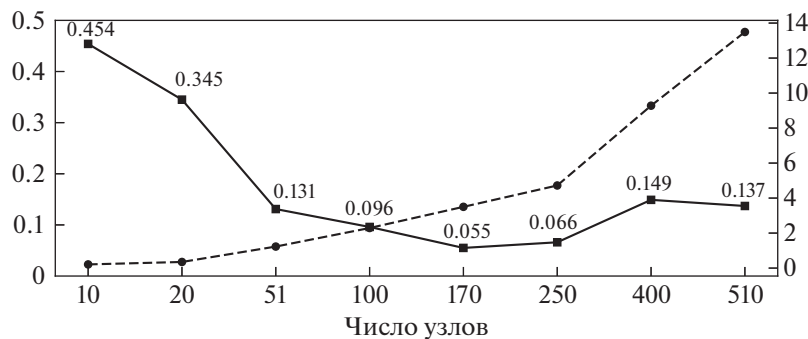


**Фиг. 2.** Восстановленная начальная функция плотности активных пользователей  $Q(x)$ . Непрерывной черной линией с кругами изображено точное решение обратной задачи, красной штриховой линией с треугольниками – решение, полученное методом ТТ, зеленой пунктирной линией с квадратами – решение, полученное комбинацией ТТ + МГМ, синей пунктирной линией с пятиугольниками – решение, полученное с помощью комбинации ТТ + МГМ с регуляризацией А.Н. Тихонова, и оранжевой пунктирной линией с ромбами изображено решение, полученное комбинацией МРЧ + МГМ.





**Фиг. 3.** Графики зависимости функционалов (в логарифмической шкале) и относительной погрешности МГМ от номера итерации  $m$  с начальным приближением в виде решения, полученного методом ТТ для случаев без (непрерывная линия) и с регуляризацией А.Н. Тихонова (пунктирная линия).



**Фиг. 4.** Непрерывная линия с квадратами демонстрирует убывание функционала с увеличением числа узлов, а штриховая линия с кругами – график возрастания времени работы программы с увеличением числа узлов.

2 раза. Таким образом, наименьшее значение погрешности  $\delta = 1.29 \times 10^{-2}$  достигается при работе регуляризованного комбинированного метода ТТ + МГМ.

На фиг. 3 непрерывными линиями изображены кривые, полученные комбинацией ТТ + МГМ, а пунктирной линией – кривые, полученные комбинированным методом с регуляризацией А.Н. Тихонова. Из фиг. 3 следует, что функционал (6) убывает быстрее, а функционал (7) не достигает минимального значения. Это связано с выбором  $q^0$ , что не позволяет функционалу достигнуть похожих значений. А погрешность регуляризованного комбинированного метода хоть и имеет сравнительно большие значения на первых итерациях, но достигает значения меньшего, чем в случае отсутствия регуляризации.

### 3.3. Вычислительная сложность

Был проведен ряд численных экспериментов для фиксированных параметров метода ТТ  $r_{\max} = 7$  и  $n_{\text{swp}} = 10$  и набора  $n = \{10, 20, 51, 100, 170, 250, 400, 510\}$ , который показал, что при увеличении числа узлов  $n$  метода ТТ уменьшаются значения функционала и погрешности, но критически увеличивается время работы программы, что продемонстрировано на фиг. 4. В результате было выбрано значение  $n = 51$  с учетом оптимального времени работы и приемлемого значения функционала.

## 4. ЗАКЛЮЧЕНИЕ

Математическая модель типа “реакции–диффузии”, возникающая в биологии, экологии и других приложениях, была адаптирована для описания процесса распространения информации в онлайн социальных сетях. Особенность моделирования состояла в описании социальных процессов в дискретном пространстве с неизвестным источником. В работе численно исследована и решена задача восстановления источника распространения информации по синтетическим

данным интегрального типа в фиксированные моменты времени. Анализ степени убывания сингулярных чисел линеаризованного оператора показал необходимость применения методов регуляризации. Разработанный алгоритм решения обратной задачи основан на комбинации вариации метода покрытий и градиентного метода с применением регуляризации А.Н. Тихонова. Было проведено сравнение с природоподобным алгоритмом и показано преимущество использования комбинации метода тензорной оптимизации и градиентного метода с регуляризацией А.Н. Тихонова.

### СПИСОК ЛИТЕРАТУРЫ

1. Четверушкин Б.Н., Осипов В.П., Балута В.И. Подходы к моделированию последствий принятия решений в условиях противодействия // Препринт ИПМ им. М.В. Келдыша. 2018. № 43. 15 с.
2. Wang F., Wang H., Xu K., Wu J., Jia X. Characterizing Information Diffusion in Online Social Networks with Linear Diffusive Model // Proceed. of ICDCS. 2013. P. 307–316.
3. Колмогоров А.Н., Петровский И.Г., Пискунов Н.С. Исследование уравнения диффузии, соединенной с возрастанием вещества, и его применение к одной биологической проблеме // Бюлл. МГУ. Сер. А. Математика и механика. 1937. Т. 1. № 6. С. 1–26.
4. Владимиров В.С. Уравнения математической физики. М.: Наука, 1981.
5. Самохвалов Д.И. Определение аккаунтов злоумышленников в социальной сети ВКонтакте при помощи методов машинного обучения // Тр. Института системного программирования РАН. 2020. Т. 32. № 3. С. 109–117.
6. Kabanikhin S. Definitions and examples of inverse and ill-posed problems // J. Inverse Ill-Posed Probl. 2009. V. 16. № 4. P. 317–357.
7. Бухгейм А.Л., Клибанов М.В. Единственность в целом одного класса многомерных обратных задач // Докл. АН СССР. 1981. Т. 260. № 2. С. 269–272.
8. Yamamoto M., Zou J. Simultaneous reconstruction of the initial temperature and heat radiative coefficient // Inverse Problems. 2001. V. 17. P. 1181.
9. Bellassoued M., Yamamoto M. Inverse source problem for a transmission problem for a parabolic equation // J. Inverse Ill-Posed Probl. 2006. V. 14(1). P. 47–56.
10. Cristofol M., Garnier J., Hamel F., Roques L. Uniqueness from pointwise observations in a multi-parameter inverse problem // Commun. Pure and Appl. Analys. 2012. V. 11(1). P. 173–188.
11. Isakov V. Inverse Problems for Partial Differential Equations. New York: Springer, 2017.
12. Hasanov A. Simultaneous determination of source terms in a linear parabolic problem from the final overdetermination: Weak solution approach // J. Math. Anal. Appl. 2007. V. 330. Iss. 2. P. 766–779.
13. Penenko A., Mukatova Z. Inverse modeling of diffusion-reaction processes with image-type measurement data // 2018 11th Inter. Multiconference Bioinformatics of Genome Regulation and Structure/Systems Biology (BGRS/SB). 2018. P. 39–43.
14. Kaltenbacher B., Rundell W. The inverse problem of reconstructing reaction-diffusion systems // Inverse Problems. 2020. V. 36. P. 065011.
15. Моисеев Т.Е., Мышецкая Е.Е., Тишкин В.Ф. О близости решений невозмущенных гиперболизированных уравнений теплопроводности для разрывных начальных данных // Докл. АН. Математика. 2018. Т. 481. № 6. С. 605–609.
16. Четверушкин Б.Н., Ольховская О.Г. Моделирование процесса лучистой теплопроводности на высокопроизводительных вычислительных системах // Докл. АН. Математика, информатика, процессы управления. 2020. Т. 491. № 1. С. 111–114.
17. Тихонов А.Н. Об устойчивости обратных задач // Докл. АН СССР. 1943. Т. 39. № 5. С. 195–198.
18. Тихонов А.Н. О зависимости решений дифференциальных уравнений от малого параметра // Матем. сб. 1948. Т. 22(64). № 2. С. 193–204.
19. Krivorotko O., Zvonareva T., Zyatkov N. Numerical solution of the inverse problem for diffusion-logistic model arising in online social networks // Commun. Comput. Info. Sci. 2021. V. 1476. P. 444–459.
20. Тихонов А.Н., Гончарский А.В., Степанов В.В., Ягола А.Г. Регуляризирующие алгоритмы и априорная информация. М.: Наука, 1983.

21. Zheltkova V.V., Zheltkov D.A., Grossman Z., Bocharov G.A., Tyrtysnikov E.E. Tensor based approach to the numerical treatment of the parameter estimation problems in mathematical immunology // *J. Inverse Ill-Posed Probl.* 2018. V. 26. № 1. P. 51–66.
22. Oseledets I.V., Tyrtysnikov E.E. TT-cross approximation for multidimensional arrays // *Linear Algebra Appl.* 2010. V. 432. № 1. P. 70–88.
23. Goreinov S.A., Oseledets I.V., Savostyanov D.V., Tyrtysnikov E.E., Zamarashkin N.L. How to Find a Good Submatrix // *Matrix Methods: Theory, Algorithms and Appl.* 2010. P. 247–256.
24. Mikhalev A., Oseledets I. Rectangular maximum-volume submatrices and their applications // *Linear Algebra Appl.* 2018. V. 538. P. 187–211.
25. Gasnikov A.V., Nesterov Y.E. Universal method for stochastic composite optimization problems // *Comput. Math. Math. Phys.* 2018. V. 58. № 1. P. 48–64.
26. Звонарева Т.А., Криворотько О.И. Сравнительный анализ градиентных методов определения источника диффузионно-логистической модели // *Ж. вычисл. матем. и матем. физ.* 2022. Т. 62. № 4. С. 694–704.